

3. I. Grattan-Guinness. "Por que George Green escrever seu ensaio de 1828 sobre eletricidade e magnetismo?" *Amer. Mat. mensal*, Vol. 102 (1995), p. 387–96.
4. J. Gray. "Houve um moleiro alegre". *The New Scientist*, Vol. 139 (1993), p. 24–27.
5. G. E. Hutchinson. *The Enchanted Voyage and Other Studies*. Westport, CT: Greenwood Press, 1978.
6. Victor Katz. *A History of Mathematics: An Introduction*. Nova York: HarperCollins, 1993, p. 678–80.
7. Morris Kline. *Mathematical Thought from Ancient to Modern Times*. Nova York: Oxford University Press, 1972, p. 683–85.
8. Sylvanus P. Thompson. *The Life of Lord Kelvin*. Nova York: Chelsea, 1976.

## 16.9 O Teorema do Divergente

Na Seção 16.5, reescrevemos o Teorema de Green na versão vetorial

$$\int_C \mathbf{F} \cdot \mathbf{n} \, ds = \iint_D \operatorname{div} \mathbf{F}(x, y) \, dA$$

onde  $C$  é a fronteira positivamente orientada da região do plano  $D$ . Se quisermos estender esse teorema para campos de vetores em  $\mathbb{R}^3$ , podemos fazer a suposição de que

$$\boxed{1} \quad \iint_S \mathbf{F} \cdot \mathbf{n} \, dS = \iiint_E \operatorname{div} \mathbf{F}(x, y, z) \, dV$$

onde  $S$  é a superfície fronteira da região sólida  $E$ . A Equação 1 é verdadeira sob hipóteses apropriadas e é chamada Teorema do Divergente. Observe sua semelhança com os Teoremas de Green e de Stokes, pois ele relaciona a integral da derivada de uma função ( $\operatorname{div} \mathbf{F}$ , nesse caso) sobre uma região com a integral da função original  $\mathbf{F}$  sobre a fronteira da região.

Nesta fase você pode querer rever os vários tipos de regiões sobre as quais calculamos integrais triplas na Seção 15.7. Enunciaremos e demonstraremos o Teorema do Divergente para regiões  $E$  que são, simultaneamente, dos tipos 1, 2 e 3 e que chamamos de **regiões sólidas simples**. (Por exemplo, as regiões delimitadas por elipsoides ou caixas retangulares são simples regiões sólidas.) A fronteira de  $E$  é uma superfície fechada e usaremos a convenção, introduzida na Seção 16.7, de que a orientação positiva é para fora, ou seja, o vetor normal unitário  $\mathbf{n}$  apontará para fora de  $E$ .

O Teorema do Divergente é às vezes chamado Teorema de Gauss, em homenagem ao grande matemático alemão Karl Friedrich Gauss (1777–1855), que descobriu esse teorema durante suas pesquisas sobre eletrostática. Em muitos países da Europa, o Teorema do Divergente é conhecido como Teorema de Ostrogradsky, em homenagem ao matemático russo Mikhail Ostrogradsky (1801–1862), que publicou esse resultado em 1826.

**O Teorema do Divergente** Seja  $E$  uma região sólida simples e seja  $S$  a superfície fronteira de  $E$ , orientada positivamente (para fora). Seja  $\mathbf{F}$  um campo vetorial cujas funções componentes tenham derivadas parciais contínuas em uma região aberta que contenha  $E$ . Então

$$\iint_S \mathbf{F} \cdot d\mathbf{S} = \iiint_E \operatorname{div} \mathbf{F} \, dV$$

Portanto, o Teorema do Divergente afirma que, sob as condições dadas, o fluxo de  $\mathbf{F}$  pela fronteira de  $E$  é igual à integral tripla da divergência de  $\mathbf{F}$  em  $E$ .

**DEMONSTRAÇÃO** Seja  $\mathbf{F} = P\mathbf{i} + Q\mathbf{j} + R\mathbf{k}$ . Então

$$\operatorname{div} \mathbf{F} = \frac{\partial P}{\partial x} + \frac{\partial Q}{\partial y} + \frac{\partial R}{\partial z}$$

assim, 
$$\iiint_E \operatorname{div} \mathbf{F} \, dV = \iiint_E \frac{\partial P}{\partial x} \, dV + \iiint_E \frac{\partial Q}{\partial y} \, dV + \iiint_E \frac{\partial R}{\partial z} \, dV$$

Se  $\mathbf{n}$  é o vetor normal unitário para fora de  $S$ , então a integral de superfície do lado esquerdo do Teorema do Divergente é

$$\begin{aligned} \iint_S \mathbf{F} \cdot d\mathbf{S} &= \iint_S \mathbf{F} \cdot \mathbf{n} \, dS = \iint_S (P\mathbf{i} + Q\mathbf{j} + R\mathbf{k}) \cdot \mathbf{n} \, dS \\ &= \iint_S P\mathbf{i} \cdot \mathbf{n} \, dS + \iint_S Q\mathbf{j} \cdot \mathbf{n} \, dS + \iint_S R\mathbf{k} \cdot \mathbf{n} \, dS \end{aligned}$$

Portanto, para demonstrar o Teorema do Divergente, é suficiente demonstrar as três seguintes equações:

$$\boxed{2} \quad \iint_S P \mathbf{i} \cdot \mathbf{n} \, dS = \iiint_E \frac{\partial P}{\partial x} \, dV$$

$$\boxed{3} \quad \iint_S Q \mathbf{j} \cdot \mathbf{n} \, dS = \iiint_E \frac{\partial Q}{\partial y} \, dV$$

$$\boxed{4} \quad \iint_S R \mathbf{k} \cdot \mathbf{n} \, dS = \iiint_E \frac{\partial R}{\partial z} \, dV$$

Para demonstrarmos a Equação 4, usamos o fato de que  $E$  é uma região do tipo 1:

$$E = \{(x, y, z) \mid (x, y) \in D, u_1(x, y) \leq z \leq u_2(x, y)\}$$

onde  $D$  é a projeção de  $E$  sobre o plano  $xy$ . Pela Equação 15.7.6, temos

$$\iiint_E \frac{\partial R}{\partial z} \, dV = \iint_D \left[ \int_{u_1(x, y)}^{u_2(x, y)} \frac{\partial R}{\partial z} (x, y, z) \, dz \right] dA$$

e, portanto, pelo Teorema Fundamental do Cálculo,

$$\boxed{5} \quad \iiint_E \frac{\partial R}{\partial z} \, dV = \iint_D [R(x, y, u_2(x, y)) - R(x, y, u_1(x, y))] \, dA$$

A fronteira  $S$  é constituída por três partes: a superfície inferior  $S_1$ , a superfície superior  $S_2$ , e, possivelmente, uma superfície vertical  $S_3$ , que se situa acima da curva fronteira de  $D$ . (Veja a Figura 1.  $S_3$  pode não aparecer, tal como no caso de uma esfera.) Observe que em  $S_3$  temos  $\mathbf{k} \cdot \mathbf{n} = 0$ , porque  $\mathbf{k}$  é vertical e  $\mathbf{n}$  é horizontal, e assim

$$\iint_{S_3} R \mathbf{k} \cdot \mathbf{n} \, dS = \iint_{S_3} 0 \, dS = 0$$

Logo, independentemente da existência de uma superfície vertical, podemos escrever

$$\boxed{6} \quad \iint_S R \mathbf{k} \cdot \mathbf{n} \, dS = \iint_{S_1} R \mathbf{k} \cdot \mathbf{n} \, dS + \iint_{S_2} R \mathbf{k} \cdot \mathbf{n} \, dS$$

A equação de  $S_2$  é  $z = u_2(x, y)$ ,  $(x, y) \in D$ , e o vetor normal que sai de  $\mathbf{n}$  aponta para cima. Da Equação 16.7.10 (com  $\mathbf{F}$  substituído por  $R \mathbf{k}$ ), temos

$$\iint_{S_2} R \mathbf{k} \cdot \mathbf{n} \, dS = \iint_D R(x, y, u_2(x, y)) \, dA$$

Sobre  $S_1$  temos  $z = u_1(x, y)$ , mas aqui a normal  $\mathbf{n}$  aponta para baixo, então multiplicamos por  $-1$ :

$$\iint_{S_1} R \mathbf{k} \cdot \mathbf{n} \, dS = - \iint_D R(x, y, u_1(x, y)) \, dA$$

Portanto, a Equação 6 fornece

$$\iint_S R \mathbf{k} \cdot \mathbf{n} \, dS = \iint_D [R(x, y, u_2(x, y)) - R(x, y, u_1(x, y))] \, dA$$

Comparando com a Equação 5, temos que

$$\iint_S R \mathbf{k} \cdot \mathbf{n} \, dS = \iiint_E \frac{\partial R}{\partial z} \, dV$$

As Equações 2 e 3 são demonstradas de modo análogo, usando as expressões para  $E$  como uma região do tipo 2 ou do tipo 3.

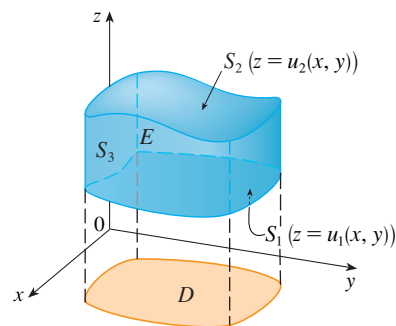


FIGURA 1

Observe que o método de demonstração do Teorema do Divergente é muito semelhante ao do Teorema de Green.

**EXEMPLO 1** Determine o fluxo do campo vetorial  $\mathbf{F}(x, y, z) = z \mathbf{i} + y \mathbf{j} + x \mathbf{k}$  sobre a unidade esférica  $x^2 + y^2 + z^2 = 1$ .

**SOLUÇÃO** Primeiro calcularemos o divergente de  $\mathbf{F}$ :

$$\operatorname{div} \mathbf{F} = \frac{\partial}{\partial x} (z) + \frac{\partial}{\partial y} (y) + \frac{\partial}{\partial z} (x) = 1$$

A solução do Exemplo 1 deve ser comparada com a solução do Exemplo 4 na Seção 16.7.

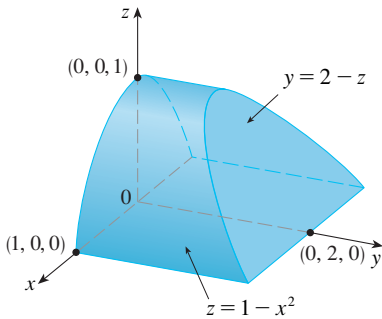


FIGURA 2

A esfera unitária  $S$  é a fronteira da bola unitária  $B$  dada por  $x^2 + y^2 + z^2 \leq 1$ . Então, o Teorema do Divergente dá o fluxo como

$$\iint_S \mathbf{F} \cdot d\mathbf{S} = \iiint_B \operatorname{div} \mathbf{F} \, dV = \iiint_B 1 \, dV = V(B) = \frac{4}{3}\pi(1)^3 = \frac{4\pi}{3}$$

**EXEMPLO 2** Calcule  $\iint_S \mathbf{F} \cdot d\mathbf{S}$ , onde

$$\mathbf{F}(x, y, z) = xy \mathbf{i} + (y^2 + e^{xz^2}) \mathbf{j} + \sin(xy) \mathbf{k}$$

$E$  é a superfície da região  $E$  delimitada pelo cilindro parabólico  $z = 1 - x^2$  e os planos  $z = 0$ ,  $y = 0$  e  $y + z = 2$ . (Veja a Figura 2.)

**SOLUÇÃO** Seria extremamente difícil calcular a integral de superfície determinada diretamente (teríamos de calcular quatro integrais de superfícies correspondentes às quatro partes de  $S$ ). Além disso, o divergente de  $\mathbf{F}$  é muito menos complicado que o próprio  $\mathbf{F}$ :

$$\operatorname{div} \mathbf{F} = \frac{\partial}{\partial x}(xy) + \frac{\partial}{\partial y}(y^2 + e^{xz^2}) + \frac{\partial}{\partial z}(\sin xy) = y + 2y = 3y$$

Portanto, usamos o Teorema do Divergente para transformar a integral da superfície dada em uma integral tripla. O modo mais fácil de calcular a integral tripla é escrever  $E$  como uma região do tipo 3:

$$E = \{(x, y, z) \mid -1 \leq x \leq 1, 0 \leq z \leq 1 - x^2, 0 \leq y \leq 2 - z\}$$

Assim, temos

$$\begin{aligned} \iint_S \mathbf{F} \cdot d\mathbf{S} &= \iiint_E \operatorname{div} \mathbf{F} \, dV = \iiint_E 3y \, dV \\ &= 3 \int_{-1}^1 \int_0^{1-x^2} \int_0^{2-z} y \, dy \, dz \, dx = 3 \int_{-1}^1 \int_0^{1-x^2} \frac{(2-z)^2}{2} \, dz \, dx \\ &= \frac{3}{2} \int_{-1}^1 \left[ -\frac{(2-z)^3}{3} \right]_0^{1-x^2} dx = -\frac{1}{2} \int_{-1}^1 [(x^2 + 1)^3 - 8] \, dx \\ &= -\int_0^1 (x^6 + 3x^4 + 3x^2 - 7) \, dx = \frac{184}{35} \end{aligned}$$

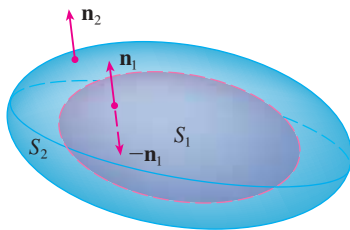


FIGURA 3

Apesar de termos demonstrado o Teorema do Divergente somente para o caso de regiões sólidas simples, ele pode ser demonstrado para regiões que são a união finita de regiões sólidas simples. (O procedimento é semelhante ao usado na Seção 16.4 para estender o Teorema de Green.)

Por exemplo, vamos considerar a região  $E$  que está entre as superfícies fechadas  $S_1$  e  $S_2$ , onde  $S_1$  está dentro de  $S_2$ . Sejam  $\mathbf{n}_1$  e  $\mathbf{n}_2$  as normais apontando para fora de  $S_1$  e  $S_2$ . Então, a fronteira de  $E$  é  $S = S_1 \cup S_2$  e a sua normal  $\mathbf{n}$  é dada por  $\mathbf{n} = -\mathbf{n}_1$  em  $S_1$  e  $\mathbf{n} = \mathbf{n}_2$  em  $S_2$  (veja a Figura 3). Aplicando o Teorema do Divergente para  $S$ , obtemos

$$\begin{aligned} \iiint_E \operatorname{div} \mathbf{F} \, dV &= \iint_S \mathbf{F} \cdot d\mathbf{S} = \iint_S \mathbf{F} \cdot \mathbf{n} \, dS \\ &= \iint_{S_1} \mathbf{F} \cdot (-\mathbf{n}_1) \, dS + \iint_{S_2} \mathbf{F} \cdot \mathbf{n}_2 \, dS \\ &= -\iint_{S_1} \mathbf{F} \cdot d\mathbf{S} + \iint_{S_2} \mathbf{F} \cdot d\mathbf{S} \end{aligned}$$

**EXEMPLO 3** No exemplo 5 na Seção 16.1 consideramos o campo elétrico

$$\mathbf{E}(\mathbf{x}) = \frac{\epsilon Q}{|\mathbf{x}|^3} \mathbf{x}$$

onde a carga elétrica  $Q$  está localizada na origem e  $\mathbf{x} = \langle x, y, z \rangle$  é um vetor posição. Use o Teorema do Divergente para mostrar que o fluxo elétrico de  $\mathbf{E}$  através de qualquer superfície fechada  $S_2$  que inclui a origem é

$$\iint_{S_2} \mathbf{E} \cdot d\mathbf{S} = 4\pi\epsilon Q$$

**SOLUÇÃO** A dificuldade é que não temos uma equação explícita para  $S_2$  porque  $S_2$  é *qualquer* superfície fechada envolvendo a origem. O exemplo mais simples de tal superfície seria uma esfera. Seja então  $S_1$  uma pequena esfera de raio  $a$  e centrada à origem. Você pode verificar que  $\text{div } \mathbf{E} = 0$ . (Veja a Exercício 23.) Portanto, a Equação 7 dá

$$\iiint_{S_2} \mathbf{E} \cdot d\mathbf{S} = \iiint_{S_1} \mathbf{E} \cdot d\mathbf{S} + \iiint_E \text{div } \mathbf{E} \, dV = \iiint_{S_1} \mathbf{E} \cdot d\mathbf{S} = \iint_{S_1} \mathbf{E} \cdot \mathbf{n} \, dS$$

O ponto importante nesse cálculo é que podemos calcular a integral de superfície sobre  $S_1$  porque  $S_1$  é uma esfera. O vetor normal em  $\mathbf{x}$  é  $\mathbf{x}/|\mathbf{x}|$ . Portanto,

$$\mathbf{E} \cdot \mathbf{n} = \frac{\varepsilon Q}{|\mathbf{x}|^3} \mathbf{x} \cdot \left( \frac{\mathbf{x}}{|\mathbf{x}|} \right) = \frac{\varepsilon Q}{|\mathbf{x}|^4} \mathbf{x} \cdot \mathbf{x} = \frac{\varepsilon Q}{|\mathbf{x}|^2} = \frac{\varepsilon Q}{a^2}$$

uma vez que a equação de  $S_1$  é  $|\mathbf{x}| = a$ . Assim, temos

$$\iint_{S_2} \mathbf{E} \cdot d\mathbf{S} = \iint_{S_1} \mathbf{E} \cdot \mathbf{n} \, dS = \frac{\varepsilon Q}{a^2} \iint_{S_1} dS = \frac{\varepsilon Q}{a^2} A(S_1) = \frac{\varepsilon Q}{a^2} 4\pi a^2 = 4\pi \varepsilon Q$$

Isso mostra que o fluxo elétrico de  $\mathbf{E}$  é  $4\pi \varepsilon Q$  através de *qualquer* superfície fechada  $S_2$  que contenha a origem. [Esse é um caso especial da Lei de Gauss (Equação 16.7.11) para uma única carga. A relação entre  $\varepsilon$  e  $\varepsilon_0$  é  $\varepsilon = 1/(4\pi \varepsilon_0)$ .]

Outra aplicação do Teorema do Divergente aparece no escoamento de fluidos. Seja  $\mathbf{v}(x, y, z)$  o campo de velocidade de um fluido com densidade constante  $\rho$ . Então  $\mathbf{F} = \rho \mathbf{v}$  é a taxa de vazão do fluido por unidade de área. Se  $P_0(x_0, y_0, z_0)$  é um ponto no fluido e  $B_a$  é uma bola com centro em  $P_0$  e raio muito pequeno  $a$ , então  $\text{div } \mathbf{F}(P) \approx \text{div } \mathbf{F}(P_0)$  para todos os pontos em  $B_a$  uma vez que  $\text{div } \mathbf{F}$  é contínuo. Aproximamos o fluxo sobre a fronteira esférica  $S_a$  como segue:

$$\iint_{S_a} \mathbf{F} \cdot d\mathbf{S} = \iiint_{B_a} \text{div } \mathbf{F} \, dV \approx \iiint_{B_a} \text{div } \mathbf{F}(P_0) \, dV = \text{div } \mathbf{F}(P_0) V(B_a)$$

Essa aproximação se torna melhor à medida que  $a \rightarrow 0$  e sugere que

$$\boxed{8} \quad \text{div } \mathbf{F}(P_0) = \lim_{a \rightarrow 0} \frac{1}{V(B_a)} \iint_{S_a} \mathbf{F} \cdot d\mathbf{S}$$

A Equação 8 diz que  $\text{div } \mathbf{F}(P_0)$  é a taxa líquida de fluxo para o exterior por unidade de volume em  $P_0$ . (Esta é a razão para o nome *divergente*). Se  $\text{div } \mathbf{F}(P) > 0$ , o fluxo líquido é exteriormente perto de  $P$  e  $P$  é chamado uma **fonte**. Se  $\text{div } \mathbf{F}(P) < 0$ , o escoamento total perto de  $P$  é para dentro e  $P$  é denominado **sorvedouro**.

Para o campo vetorial da Figura 4, parece que os vetores que terminam próximo de  $P_1$  são menores que os vetores que iniciam perto do mesmo ponto  $P_1$ . Então, o fluxo total é para fora perto de  $P_1$ , assim,  $\text{div } \mathbf{F}(P_1) > 0$  e  $P_1$  é uma fonte. Por outro lado, perto de  $P_2$ , os vetores que chegam são maiores que os que saem. Aqui o fluxo total é para dentro, assim  $\text{div } \mathbf{F}(P_2) < 0$  e  $P_2$  é um sorvedouro. Podemos usar a fórmula para  $\mathbf{F}$  para confirmar essa impressão. Uma vez que  $\mathbf{F} = x^2 \mathbf{i} + y^2 \mathbf{j}$ , temos  $\text{div } \mathbf{F} = 2x + 2y$ , que é positivo quando  $y > -x$ . Assim, os pontos acima da linha  $y = -x$  são fontes e os que estão abaixo são sorvedouros.

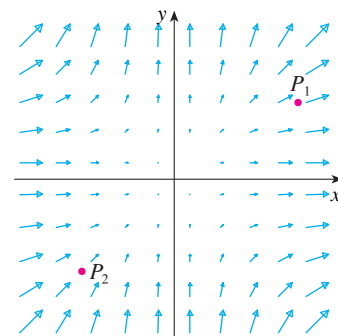


FIGURA 4

Campo vetorial  $\mathbf{F} = x^2 \mathbf{i} + y^2 \mathbf{j}$

## 16.9 Exercícios

**1–4** Verifique se o Teorema do Divergente é verdadeiro para o campo vetorial  $\mathbf{F}$  na região  $E$ .

- $\mathbf{F}(x, y, z) = 3x \mathbf{i} + xy \mathbf{j} + 2xz \mathbf{k}$ ,  $E$  é o cubo limitado pelos planos  $x = 0$ ,  $x = 1$ ,  $y = 0$ ,  $y = 1$ ,  $z = 0$  e  $z = 1$
- $\mathbf{F}(x, y, z) = x^2 \mathbf{i} + xy \mathbf{j} + z \mathbf{k}$ ,  $E$  é o sólido delimitado pelo parabolóide  $z = 4 - x^2 - y^2$  e pelo plano  $xy$

- $\mathbf{F}(x, y, z) = \langle z, y, x \rangle$ ,  
 $E$  é a bola sólida  $x^2 + y^2 + z^2 \leq 16$

- $\mathbf{F}(x, y, z) = \langle x^2, -y, z \rangle$ ,  
 $E$  é o cilindro sólido  $y^2 + z^2 \leq 9$ ,  $0 \leq x \leq 2$

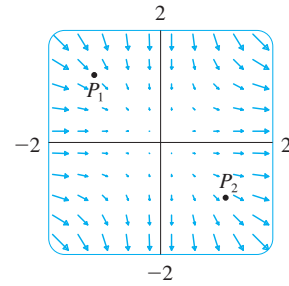
**5–15** Use o Teorema do Divergente para calcular a integral de superfície  $\iint_S \mathbf{F} \cdot d\mathbf{S}$ ; ou seja, calcule o fluxo de  $\mathbf{F}$  através de  $S$ .

5.  $\mathbf{F}(x, y, z) = xye^z \mathbf{i} + xy^2z^3 \mathbf{j} - ye^z \mathbf{k}$ ,  
 $S$  é a superfície da caixa delimitada pelos planos coordenados e pelos planos  $x = 3$ ,  $y = 2$ ,  $z = 1$
6.  $\mathbf{F}(x, y, z) = x^2yz \mathbf{i} + xy^2z \mathbf{j} + xyz^2 \mathbf{k}$ ,  
 $S$  é a superfície da caixa delimitada pelos planos  $x = 0$ ,  $x = a$ ,  $y = 0$ ,  $y = b$ ,  $z = 0$  e  $z = c$ , onde  $a$ ,  $b$  e  $c$  são números positivos
7.  $\mathbf{F}(x, y, z) = 3xy^2 \mathbf{i} + xe^z \mathbf{j} + z^3 \mathbf{k}$ ,  
 $S$  é a superfície do sólido limitado pelo cilindro  $y^2 + z^2 = 1$  e os planos  $x = -1$  e  $x = 2$
8.  $\mathbf{F}(x, y, z) = (x^3 + y^3) \mathbf{i} + (y^3 + z^3) \mathbf{j} + (z^3 + x^3) \mathbf{k}$ ,  
 $S$  é a esfera com origem no centro e raio 2
9.  $\mathbf{F}(x, y, z) = x^2 \sin y \mathbf{i} + x \cos y \mathbf{j} - xz \sin y \mathbf{k}$ ,  
 $S$  é a “esfera gorda”  $x^8 + y^8 + z^8 = 8$
10.  $\mathbf{F}(x, y, z) = z \mathbf{i} + y \mathbf{j} - zx \mathbf{k}$ ,  
 $S$  é a superfície do tetraedro limitado pelos planos coordenados e o plano

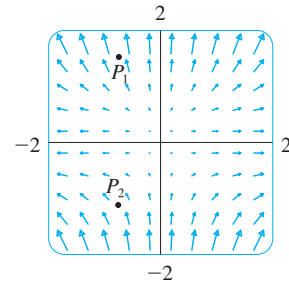
$$\frac{x}{a} + \frac{y}{b} + \frac{z}{c} = 1$$

onde  $a$ ,  $b$  e  $c$  são números positivos

11.  $\mathbf{F}(x, y, z) = (\cos z + xy^2) \mathbf{i} + xe^{-z} \mathbf{j} + (\sin y + x^2z) \mathbf{k}$ ,  
 $S$  é a superfície do sólido limitado pelo parabolóide  $z = x^2 + y^2$  e o plano  $z = 4$
12.  $\mathbf{F}(x, y, z) = x^4 \mathbf{i} - x^3z^2 \mathbf{j} + 4xy^2z \mathbf{k}$ ,  
 $S$  é a superfície do sólido limitado pelo cilindro  $x^2 + y^2 = 1$  e os planos  $z = x + 2$  e  $z = 0$
13.  $\mathbf{F} = \mathbf{r}|\mathbf{r}|$ , onde  $\mathbf{r} = x \mathbf{i} + y \mathbf{j} + z \mathbf{k}$ ,  
 $S$  consiste no hemisfério  $z = \sqrt{1 - x^2 - y^2}$  e no disco  $x^2 + y^2 \leq 1$  no plano  $xy$
14.  $\mathbf{F} = |\mathbf{r}|^2 \mathbf{r}$ , onde  $\mathbf{r} = x \mathbf{i} + y \mathbf{j} + z \mathbf{k}$ ,  
 $S$  é a esfera com raio  $R$  e origem no centro
- SCA 15.  $\mathbf{F}(x, y, z) = e^y \tan z \mathbf{i} + y\sqrt{3 - x^2} \mathbf{j} + x \sin y \mathbf{k}$ ,  
 $S$  é a superfície do sólido que está acima do plano  $xy$  e abaixo da superfície  $z = 2 - x^4 - y^4$ ,  $-1 \leq x \leq 1$ ,  $-1 \leq y \leq 1$
- SCA 16. Use um sistema de computação algébrica para traçar o campo vetorial  $\mathbf{F}(x, y, z) = \sin x \cos^2 y \mathbf{i} + \sin^3 y \cos^4 z \mathbf{j} + \sin^5 z \cos^6 x \mathbf{k}$  no cubo obtido cortando o primeiro octante pelos planos  $x = \pi/2$ ,  $y = \pi/2$  e  $z = \pi/2$ . Em seguida, calcule o fluxo através da superfície do cubo.
17. Use o Teorema do Divergente para calcular  $\iint_S \mathbf{F} \cdot d\mathbf{S}$ , onde  $\mathbf{F}(x, y, z) = z^2x \mathbf{i} + (\frac{1}{3}y^3 + \tan z) \mathbf{j} + (x^2z + y^2) \mathbf{k}$  e  $S$  é a metade superior da esfera  $x^2 + y^2 + z^2 = 1$ . [Dica: Note que  $S$  não é uma superfície fechada. Calcule primeiro as integrais sobre  $S_1$  e  $S_2$ , onde  $S_1$  é o disco  $x^2 + y^2 \leq 1$ , orientado para baixo, e  $S_2 = S \cup S_1$ .]
18. Seja  $\mathbf{F}(x, y, z) = z \tan^{-1}(y^2) \mathbf{i} + z^3 \ln(x^2 + 1) \mathbf{j} + z \mathbf{k}$ . Determine o fluxo de  $\mathbf{F}$  através da parte do parabolóide  $x^2 + y^2 + z = 2$  que está acima do plano  $z = 1$  e tem orientação descendente.
19. Um campo vetorial  $\mathbf{F}$  é mostrado. Use a interpretação do Divergente deduzida nesta seção para determinar se  $\text{div } \mathbf{F}$  é positivo ou negativo em  $P_1$  e em  $P_2$ .



20. (a) Os pontos  $P_1$  e  $P_2$  são fontes ou sorvedouros no campo vetorial  $\mathbf{F}$  mostrado na figura? Dê uma explicação baseada exclusivamente na figura.  
 (b) Dado que  $\mathbf{F}(x, y) = \langle x, y^2 \rangle$ , use a definição de divergente para verificar sua resposta da parte (a).



SCA 21–22 Trace o campo do vetor e adivinhe onde  $\text{div } \mathbf{F} > 0$  e onde  $\text{div } \mathbf{F} < 0$ . Então calcule  $\text{div } \mathbf{F}$  para verificar o seu palpite.

21.  $\mathbf{F}(x, y) = \langle xy, x + y^2 \rangle$       22.  $\mathbf{F}(x, y) = \langle x^2, y^2 \rangle$

23. Verifique se  $\text{div } \mathbf{E} = 0$  para o campo elétrico  $\mathbf{E}(\mathbf{x}) = \frac{\epsilon Q}{|\mathbf{x}|^3} \mathbf{x}$ .

24. Use o Teorema do Divergente para avaliar

$$\iiint_S (2x + 2y + z^2) dS$$

onde  $S$  é a esfera  $x^2 + y^2 + z^2 = 1$ .

25–30 Demonstre cada identidade, supondo que  $S$  e  $E$  satisfaçam as condições do Teorema do Divergente e que as funções escalares e as componentes dos campos vetoriais tenham derivadas parciais de segunda ordem contínuas.

25.  $\iint_S \mathbf{a} \cdot \mathbf{n} dS = 0$ , onde  $\mathbf{a}$  é um vetor constante

26.  $V(E) = \frac{1}{3} \iint_S \mathbf{F} \cdot d\mathbf{S}$ , onde  $\mathbf{F}(x, y, z) = x \mathbf{i} + y \mathbf{j} + z \mathbf{k}$

27.  $\iint_S \text{rot } \mathbf{F} \cdot d\mathbf{S} = 0$

28.  $\iint_S D_n f dS = \iiint_E \nabla^2 f dV$

29.  $\iint_S (f \nabla g) \cdot \mathbf{n} dS = \iiint_E (f \nabla^2 g + \nabla f \cdot \nabla g) dV$

30.  $\iint_S (f \nabla g - g \nabla f) \cdot \mathbf{n} dS = \iiint_E (f \nabla^2 g - g \nabla^2 f) dV$

31. Suponha que  $S$  e  $E$  satisfaçam as condições do Teorema do Divergente e que  $f$  seja uma função escalar com derivadas parciais contínuas. Demonstre que

$$\iint_S f \mathbf{n} dS = \iiint_E \nabla f dV$$

Estas integrais de superfície e triplos de funções vetoriais são vetores definidos por meio da integração de cada função do componente. [Dica: Comece por aplicar o Teorema do Divergente para  $\mathbf{F} = f\mathbf{c}$ , onde  $\mathbf{c}$  é um vetor constante arbitrário.]